

УДК 550.93:551.24(571.5)

НОВЫЕ ДАННЫЕ ОБ ИЗОТОПНОМ U–Рb-ВОЗРАСТЕ ЦИРКОНОВ ИЗ ПОРОД СУННАГИНСКОГО ЭНДЕРБИТОВОГО КУПОЛА АЛДАНСКОГО ЩИТА (К ПРОБЛЕМЕ ТЕКТОНИЧЕСКОЙ ЭВОЛЮЦИИ ДРЕВНЕЙ КОНТИНЕНТАЛЬНОЙ КОРЫ)

© 2004 г. М. З. Глуховский, Т. Б. Баянова, В. М. Моралев, Н. В. Левкович

Представлено академиком В.Е. Хайним 15.09.2003 г.

Поступило 19.09.2003 г.

Изотопно-геохронологические исследования гранитоидов из архейских гранитоидов Суннагинского эндербитового купола, занимающего северную часть Алданского щита, были предприняты для оценки возраста становления древней континентальной коры этого региона. Этот купол – крупнейший (380×300 км) среди подобных структурных элементов, типичных для центральной гранулито-гнейсовой области щита. Подробное описание строения этого купола, петрогохимические характеристики образующих его пород, а также проблемы их петрогенезиса и тектонических условий формирования описаны ранее [1]. Породы купола относятся к инфра- и супракrustальному комплексам раннего архея. Первые слагают ядро купола, вторые – его обрамление. Инфракrustальный комплекс пород представлен низкокалиевыми эндербитами, которые насыщены меланократовыми включениями метабазитов (пироксен-плагиоклазовых кристаллических сланцев). Последние рассматриваются как фрагменты базитовой протокоры. Эта эндербит-базитовая ассоциация пород сохраняется только в теневых реликтах, так как почти полностью замещается эндербитами нормальной и повышенной щелочности (чарнокитами). Помимо этих двух генераций гранитоидов, которые внешне неотличимы друг от друга, но четко разделяются по многим петрогохимическим параметрам, выделяется и третья – представленная лейкогранитами. Последние слагают прожилки, жилы и тела небольших размеров в ядре купола, а также неосому в мигматизированных породах супракrustальной гнейсовой серии.

Институт литосферы
окраинных и внутренних морей
Российской Академии наук, Москва
Геологический институт
Кольского научного центра
Российской Академии наук,
Апатиты Мурманской обл.

Такой набор гранитоидов трех генераций является стандартным для областей развития древнейших тоналит-тондемит-гранодиоритовых серий (ТТГ) [1]. Помимо метабазитов, входящих в состав инфракrustального комплекса, в пределах Суннагинского купола выделяются и метабазиты второй разновидности, представленные пироксен-плагиоклазовыми кристаллическими сланцами с амфиболом, магнетитом, иногда с гранатом. Эти породы слагают силлы мощностью от первых десятков до 100 м и более среди пород супракrustальной гнейсовой серии. Кроме того, они образуют трехлучевой рой мафических даек, расходящийся от центра купола в северо-западном (протяженность до 200 км), северном (500 км) и южном (первые километры) направлениях. Дайки и силлы деформированы и пронизаны чарнокитами и жилами лейкогранитов. Анализ спектров распределения редкоземельных элементов (РЗЭ) в метабазитах инфракrustального комплекса и в низкокалиевых эндербитах, с учетом особенностей их геологических соотношений, показал, что эти гранитоиды скорее всего формировались в нисходящих термофлюидных потоках в режиме хаотического рециклирования базитовой протокоры (сугдукция) за счет ее частичного плавления. Это – начальный этап тектонической эволюции купола и становления эмбриональной континентальной коры. Формирование гранитоидов второй генерации (чарнокитов) осуществлялось за счет частичного плавления этой эндербит-базитовой коры, в режиме восходящего термофлюидного потока в условиях экранирующего влияния, накопившегося к этому времени, супракrustального (метаморфизованного вулканогенно-осадочного) комплекса пород. Этому заключительному этапу купольного тектогенеза предшествовало внедрение мафических даек и силлов. Лейкограниты, если судить по сравнительному распределению РЗЭ в них (европиевый максимум и резкое обеднение тяжелыми РЗЭ) и в расчетном составе эмбриональной эндербит-базитовой континентальной коры, про-

изошли за счет частичного плавления последней [1], в условиях гранулитовой фации. Это полностью соответствует теоретической модели формирования пород подобного типа [2]. По всей видимости, генезис анатектических лейкогранитов, равно как и неосомы в мигматитах супракrustального комплекса, был связан с этапом термальной активности, приведшей к частичному плавлению материала сложного состава, включающего в основном компоненты эмбриональной эндербит-базитовой и более молодой относительно зрелой континентальной коры, возникшей в архее на заключительном этапе купольного тектогенеза.

До сих пор изотопно-геохронологические исследования по цирконам из пород Суннагинского купола не проводились. Исключение составляет одно определение возраста цирконов термоэмиссионным методом из субщелочных гиперстенсодержащих гранодиоритов (массив Емелели), прорывающих породы, которые слагают ядро Суннагинского купола [1, 3]. Полученные значения возраста от 2.0 до 1.8 млрд. лет попадают в интервалы более прецизионных определений (U-Pb-изотопный метод по цирконам) времени формирования субщелочных аляскитовых гранитов Алданского щита: от 1920 ± 20 до 1900 ± 1 млн. лет [4, 5]. Такие высокотемпературные гранитоиды, изофициальные гранулитовой ступени метаморфизма (помимо массива Емелели), широко развиты и в других частях Суннагинского купола, где они прорывают все комплексы пород, образующие эту структуру [1]. Обоснование раннеархейского возраста эндербитов Суннагинского купола, так же как и других куполов гранулито-гнейсовой области Алданского щита, основывается не только на этом факте, но и на том, что они по всем внешним признакам и петрогохимическим параметрам полностью идентичны эндербитам или тоналитовым гранито-гнейсам тех районов щита, где возраст последних определялся по цирконам изохронным методом (в том числе SHRIMP). Это тоналитовые гнейсы Центрально-Алданского купола с возрастом 3335 ± 3 и 3570 ± 60 млн. лет (Грековский порог на р. Алдан [6, 7]), а также чарнокиты Гонамского купола – 3131 ± 74 млн. лет на р. Сутам [8]. При этом необходимо подчеркнуть, что на всех диаграммах в нижнем пересечении конкордии с дискордией соответственно фиксируются значения возраста: 1929 ± 9 , 1860 ± 50 и 1935 ± 35 млн. лет. Эти значения близки возрасту высокотемпературных субщелочных аляскитовых гранитов и гиперстенсодержащих гранодиоритов, упомянутых выше, и по общему мнению отражают время последнего регионального гранулитового метаморфизма. Необходимо также подчеркнуть, что аляскитовые граниты и гиперстенсодержащие гранодиориты по характеру распределения в них РЭЭ оказались комплементарны

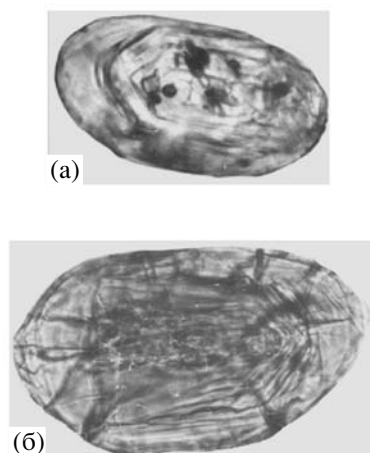


Рис. 1. Морфологические особенности цирконов из эндербитов (а) размерами до 75 мкм и чарнокитов (б) размерами до 125 мкм.

раннепротерозойским анортозитам, которые слагают автономные массивы в южной краевой зоне гранулито-гнейсовой области Алданского щита [3].

Для датирования низкокалиевых эндербитов и чарнокитов были отобраны цирконы из гранитоидов первой (пробы 4/1 и 6/4) и второй (проба 5/1) разновидностей (места отбора проб см. [1, рис. 1]). Петрохимические составы этих гранитоидов следующие, мас. %: проба 4/1 – SiO_2 62.12, TiO_2 0.64, Al_2O_3 18.07, Fe_2O_3 (здесь и далее общее) 5.58, MnO 0.1, MgO 1.75, CaO 4.43, Na_2O 4.98, K_2O 1.81, P_2O_5 0.27, сумма 99.75; проба 6/4 – SiO_2 54.30, TiO_2 1.09, Al_2O_3 18.84, Fe_2O_3 8.70, MnO 0.13, MgO 2.90, CaO 7.36, Na_2O 4.47, K_2O 1.71, P_2O_5 0.46, сумма 99.96; проба 5/1 – SiO_2 72.58, TiO_2 0.47, Al_2O_3 12.38, Fe_2O_3 5.07, MnO 0.02, MgO 0.21, CaO 1.76, Na_2O 2.71, K_2O 4.44, P_2O_5 0.20, сумма 99.64.

Отбор проб осуществлялся методом штрафного опробования эндербитов и чарнокитов из коренных обнажений с последующим дроблением штуков (общая масса каждой пробы до 20–30 кг) на мелкие сколки и сокращением массы каждой пробы до 1–2 кг. Такая пробы подвергалась лабораторной обработке по стандартной методике с отбором навесок на петрогохимические исследования и на извлечение акцессорных цирконов. Принадлежность последних к той или иной разновидности гранитоидов (учитывая их внешнее сходство) определялась только после петрогохимического анализа пород.

На U-Pb-датирование отбирались цирконы призматического и короткопризматического габитусов, которые были разобраны вручную на разные типы по степени удлиненности кристаллов. Цирконы из проб эндербитов (проба 4/1) и чарнокитов (проба 5/1) окрашены в слабо коричневый цвет. В них измерены высокие концентра-

Таблица 1. Изотопные U–Pb-данные для цирконов из пород Суннагинского купола

| № пробы | Навеска, мг | Содержание, ppm | | Изотопный состав свинца* | | | Изотопные отношения и возраст, млн. лет** | | | <i>Rho</i> |
|-------------------------------------|----------------|-----------------|-------|--|--|---|--|--|---|------------|
| | | Pb | U | $\frac{^{206}\text{Pb}}{^{204}\text{U}}$ | $\frac{^{206}\text{Pb}}{^{207}\text{U}}$ | $\frac{^{206}\text{Pb}}{^{208}\text{Pb}}$ | $\frac{^{207}\text{Pb}}{^{235}\text{U}}$ | $\frac{^{206}\text{Pb}}{^{238}\text{U}}$ | $\frac{^{206}\text{Pb}}{^{206}\text{Pb}}$ | |
| Низкокалиевые эндербиты (проба 6/4) | | | | | | | | | | |
| 1 | 0.20 | 26.5 | 69.9 | 890 | 7.3257 | 8.1492 | 5.76572 | 0.344149 | 1978 | 0.74 |
| 2 | 0.20 | 17.2 | 46.5 | 1400 | 7.5898 | 9.5224 | 5.78798 | 0.343452 | 1989 | 0.75 |
| 3 | 0.20 | 8.9 | 25.6 | 2086 | 7.7705 | 7.4337 | 5.38152 | 0.319148 | 1990 | 0.79 |
| Низкокалиевые эндербиты (проба 4/1) | | | | | | | | | | |
| 1 | 0.90 | 148.7 | 388.5 | 3686 | 7.9516 | 11.311 | 6.14455 | 0.36486 | 1988 | 0.93 |
| 2 | 0.80 | 174.2 | 473.9 | 4031 | 8.0072 | 11.931 | 5.90690 | 0.35221 | 1980 | 0.98 |
| 3 | 1.30 | 298.7 | 860.1 | 5655 | 8.0917 | 12.331 | 5.58594 | 0.33421 | 1974 | 0.96 |
| Чарнокиты (проба 5/1) | | | | | | | | | | |
| 1 | 0.40 | 170.8 | 466.3 | 12413 | 7.8870 | 13.306 | 6.13404 | 0.353862 | 2039 | 0.94 |
| 2 | 0.70 | 220.8 | 612.2 | 19773 | 7.9434 | 13.123 | 6.02926 | 0.348636 | 2032 | 0.95 |
| 3 | 0.35 | 224.8 | 649.4 | 12777 | 7.9222 | 12.730 | 5.76027 | 0.333716 | 2032 | 0.92 |

Примечание. Разложение циркона и сфена проводилось по методике [11]. Использовались смешанный трассер $^{208}\text{Pb}/^{235}\text{U}$ и силикагель. Все измерения изотопного состава и концентраций Pb и U выполнены в статистическом режиме на семиканальном масс-спектрометре "Finnigan-MAT-262" (RPQ) с ошибкой в U–Pb-отношениях, равной 0.5%. При расчете координат точек и параметров изохоры применялись программы [12–13], использованы принятые константы распада [14]; все ошибки даны на уровне 2σ . *Rho* – коэффициент корреляции по осям.

* Все отношения скорректированы на холостое загрязнение 0.08 нг для Pb и 0.04 нг для U и масс-дискриминацию $0.12 \pm 0.04\%$.

** Коррекция на примесь обыкновенного свинца определена на возраст по модели [10].

ции урана и свинца (см. табл. 1) по сравнению с прозрачными цирконами из низкокалиевых эндербитов (проба 6/4). Для всех кристаллов из эндербитов и чарнокитов в иммерсионной среде характерна слабая трещинноватость, редкие минеральные включения и тонкая магматическая зональность. На рис. 1 показаны типичные кристаллы цирконов из этих пород и их размеры.

Микрозондовые исследования аксессорных цирконов из эндербитов и чарнокитов Суннагинского купола, проведенные ранее [9] на предмет установления в них содержания циркония и гафния, позволили выделить в цирконах из эндербитов четыре группы меток Zr/Hf-отношений: габбровую (величина отношения от 60 и выше), диорит-гранодиоритовую (60–50), гранитную (50–40) и лейкогранитную (менее 40). В зональных зернах цирконов установлено закономерное распределение этих меток в той же последовательности: от габбровой – в ядрах, к лейкогранитной – в краевых частях. В цирконах из чарнокитов отмечены более узкие диапазоны в распределении Zr/Hf-отношений в интервале от 40 до 50, вне зависимости от мест зондирования. По всей видимости, первые две группы меток Zr/Hf-отношений в цирконах из эндербитов связаны с начальным этапом гранитообразования – частичным плавлением материала первичной базитовой коры. Поэтому габбро-

вая метка в ядрах цирконов может рассматриваться как реликтовая, отражающая состав протолита. Две последние группы меток Zr/Hf-отношений можно отнести к последующим этапам петрогенезиса и термотектонической эволюции древней континентальной коры [9].

Изотопные U–Pb-данные для цирконов из двух разновидностей гранитоидов Суннагинского купола сведены в табл. 1. Три U–Pb-изохроны, построенные (каждая по трем точкам цирконов) для проб 6/4, 4/1 и 5/1, имеют соответственно верхнее пересечение с конкордией, равное 1977 ± 36 млн. лет (СКВО = 0.62); 1985 ± 2 млн. лет (СКВО = 1.9) и 2064 ± 6 млн. лет (СКВО = 1.4) (рис. 2, 3).

Полученные значения возраста цирконов из архейских разновозрастных эндербитов и чарнокитов Суннагинского купола Алданского щита оказались близкими к времени внедрения массивов автономных раннепротерозойских анортозитов, габбро, субщелочных аляскитовых гранитов и гиперстенсодержащих гранодиоритов, комплементарных анортозитам [3]. Это является типичным и для других частей гранулито-gneйсовой области Алданского щита. Так, на западе этой области на р. Алдан (Грековский порог и его окрестности) в непосредственной близости друг от друга обнаруживаются эндербиты и чарнокиты не только с древ-

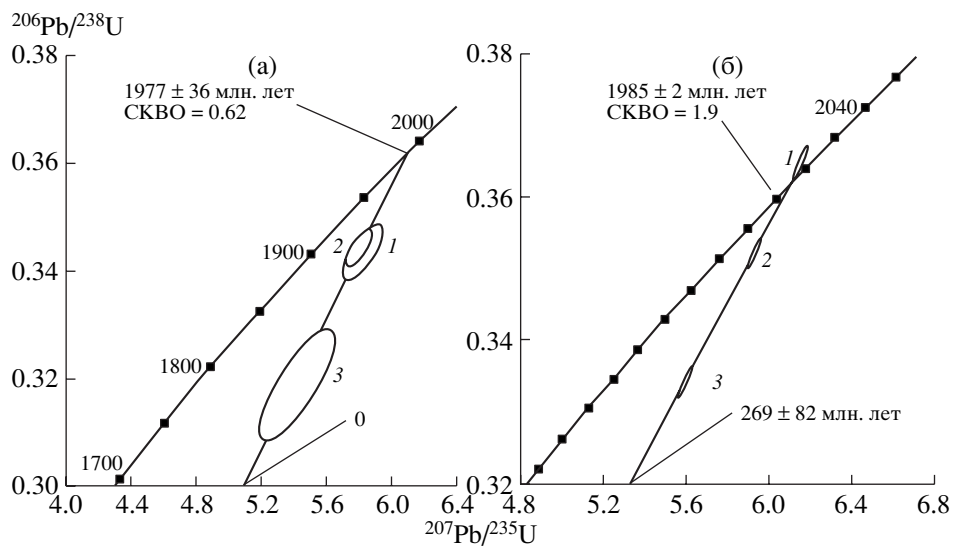


Рис. 2. U–Pb-диаграмма с конкордией для циркона из низкокалиевых эндербитов Суннагинского купола. а – проба 6/4; б – проба 4/1.

нейшими цирконами (см. выше), но и аналогичные породы со средним возрастом цирконов от 2.22 до 1.92 млрд. лет (в верхнем пересечении дискордии с конкордией). Вместе с тем эти же породы прорываются габбро недалеко расположенного Унгринского массива с близким U–Pb-изохронным возрастом цирконов 2.04 млрд. лет, а также красными аляскитовыми гранитами с U–Pb-возрастом по цирконам 1.9 млрд. лет [5].

По всей видимости, причиной появления в архейских разновременных гранитоидах цирконов с раннепротерозойскими показателями U–Pb-изохронного возраста служит интенсивное проявление соответствующих этому времени эндогенных процессов, с которыми были связаны: ареальная ре-ремобилизация (частичная или полная перекристаллизация) архейской континентальной коры, сопровождавшаяся последовательным выплавлением анатектоидных лейкогранитов, составляющих неосому в мигматизированных породах супракrustального комплекса; внедрением габбро, аортозитов и комплементарных им субщелочных аляскитовых гранитов и гиперстенсодержащих гранодиоритов. Судя по сохранности эндербитовых куполов в пределах гранулито-гнейсовой области Алданского щита эти процессы, протекавшие в относительно сухих условиях гранулитовой фации метаморфизма, не привели к существенной перестройке древнейших купольных структур. Вместе с тем эти высокотемпературные процессы могли способствовать не только перестройке более подвижной Rb–Sr-изотопной системы в породах Суннагинского купола (о чем свидетельствует соответствующий возраст метабазитов из силла в супракrustальном окаймлении эндербитового ядра – 1.98 млрд. лет [3]), но формированию зональ-

ных цирконов в гранитоидах, где наиболее древние значения U–Pb-изотопных отношений могли сохраняться только в ядрах цирконов. По всей видимости внешние зоны зерен цирконов, занимающие основной их объем (что видно из анализа распределения в них Zr/Hf-отношений), несут информацию о времени проявления раннепротерозойского термотектогенеза со всеми вытекающими из этого последствиями, о которых говорилось выше.

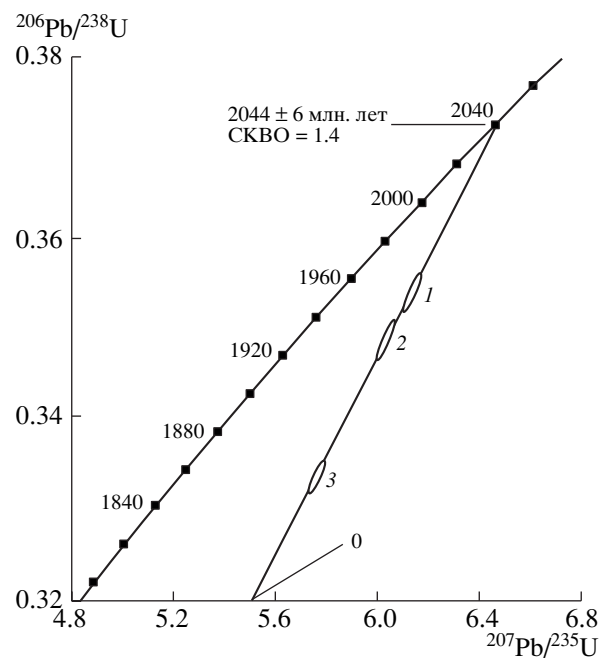


Рис. 3. U–Pb-изохона с конкордией для циркона из чарнокитов Суннагинского купола (проба 5/1).

Таким образом, результаты U–Pb-датирования цирконов из эндербитов архейского Суннагинского купола являются еще одним свидетельством, подтверждающим чрезвычайно широкое развитие процессов термотектогенеза на конечной стадии формирования древней континентальной коры Алданского щита [3, 5], в эпоху завершения становления раннепротерозойского суперконтинента [15].

Авторы выражают свою глубокую благодарность В.В. Ляховичу за организацию обработки проб и выделение цирконов, Л.М. Федоровой за ручную разборку цирконов и фото в иммерсионной среде, Л.Ф. Сергачевой и А.Н. Вахатовой за техническую помощь при оформлении рукописи.

Работа выполнена при финансовой поддержке РФФИ (проекты 00-05-72032 (ЦКП), 01-05-64268 и 01-05-64671).

СПИСОК ЛИТЕРАТУРЫ

1. Глуховский М.З., Моралев В.М. // Геотектоника. 1999. № 6. С. 81–93.
2. Tarney J., Weaver B.J., Drury S.A. Trondhjemites, Dacites, and Related Rocks. Amsterdam: Elsevier, 1979. P. 275–299.
3. Глуховский М.З., Моралев В.М., Суханов М.К. // Геотектоника. 1993. № 3. С. 69–81.
4. Щербак Н.П., Бибикова Е.В. Стратиграфия и геохронология раннего докембра. XXVII Междунар. геол. конгр. Т. 5. Геология докембра. М.: Наука, 1984. С. 3–14.
5. Frost B.R., Avchenko O.V., Chamberlain K.R., Frost C.D. // Precambr. Res. 1998. V. 89. № 1/2. P. 1–23.
6. Морозова И.М., Другова Г.М., Богомолова Е.С. и др. Изотопно-геохронологические доказательства раннедокембрийской истории Алдано-Олекминского района. Изотопная геохимия и геохронология. Л.: Наука, 1990. С. 7–22.
7. Nutman A.P., Chernyshev I.V., Baadsgaard H., Smelov A.P. // Precambr. Res. 1992. V. 54. № 2/4. P. 195–210.
8. Шемякин В.М., Глебовицкий В.А., Бережная Н.Г. и др. // ДАН. 1998. Т. 360. № 4. С. 526–529.
9. Глуховский М.З., Моралев В.М., Борисовский С.Е. // ДАН. 2001. Т. 381. № 5. С. 661–664.
10. Stacey J.S., Kramers J.D. // Earth and Planet. Sci. Lett. 1975. V. 26. № 2. P. 207–221.
11. Krogh T.E. // Geochim. et cosmochim. acta. 1973. V. 37. P. 485–494.
12. Ludwig K.R. PbDAT Program. // U.S. Geol. Surv. Open-File Rept 88–542. 1991. 38 p.
13. Ludwig K.R. ISOPLOT/Ex, a Geochronological Toolkit for Microsoft Excel. Ver. 2.05. Berkeley: Geochronol. Center Spec. Publ., 1999. № 1a.
14. Steiger R.H., Jager E. // Earth and Planet. Sci. Lett. 1977. V. 36. № 3. P. 359–362.
15. Хайн В.Е. Тектоника континентов и океанов (год 2000). М.: Науч. мир, 2001. 606 с.